



Available online: <http://ijhe.tums.ac.ir>

مقاله پژوهشی

## بررسی حذف فتوکاتالیستی آلاینده متیل اورانژ در سوسپانسیون حاوی نانوذرات SnO<sub>2</sub> و ZnO و بررسی تاثیر متغیرهای موثر بر فرایند

صادیقه عباسی\*

(نویسنده مسئول): دکتری مهندسی شیمی، استادیار مجتمع آموزش عالی فنی و مهندسی اسفراین، خراسان شمالی، اسفراین، ایران

### اطلاعات مقاله:

**زمینه و هدف:** مواد فتوکاتالیستی به علت کاربرد گسترده‌ای که در حفاظت از محیط زیست دارند به طور گسترده مورد توجه قرار گرفته‌اند. هدف این تحقیق بررسی و مطالعه آنالیز آماری فعالیت فتوکاتالیستی نانوذرات SnO<sub>2</sub> و ZnO جهت حذف آلاینده متیل اورانژ از آب است.

**روش بررسی:** نانوذرات ZnO و SnO<sub>2</sub> به ترتیب به روش سل-ژل و شیمیابی سنتز شدند و متیل اورانژ به عنوان آلاینده مورد نظر انتخاب شد. تاثیر غلظت نانوذرات جهت حذف آلاینده در محلوده ۰/۲۵، ۰/۵ و ۱ درصد وزنی مورد بررسی قرار گرفت. جهت بررسی تاثیر میزان تابش دهی، سوسپانسیون حاوی آلاینده و نانوذرات در مدت زمان‌های متفاوت و در محلوده ۵ تا ۲۵ min تحت تابش قرار گرفت. نتایج حاصل با استفاده از نرم افزار MSTATC, Ver ۱.۴۲ و آزمون آماری چند دامنه‌ای دانکن (Duncan's multiple range test) مورد بررسی قرار گرفت.

**یافته‌ها:** نتایج حاصل از آنالیز واریانس کارایی حذف متیل اورانژ نشان داد که در سوسپانسیون‌های حاوی SnO<sub>2</sub>، زمان تابش دهی، غلظت نانوذرات و انر متقابل آنها در سطح احتمال ۵ درصد دارای تاثیر معنی‌داری بر روی حذف فتوکاتالیستی متیل اورانژ هستند. همچنین با افزایش زمان تابش دهی از ۵ تا مدت ۲۵ min میزان حذف آلاینده در سوسپانسیون حاوی SnO<sub>2</sub> و ZnO به ترتیب به ۹۷/۴۲ درصد و ۶۹/۵۵ درصد می‌رسد. بررسی تاثیر غلظت نانوذرات بر روی میزان حذف متیل اورانژ نیز نشان دهنده افزایش میزان فعالیت فتوکاتالیستی نانوذرات با افزایش غلظت است.

**نتیجه‌گیری:** طبق نتایج باست آمده مشاهده شد که میزان فعالیت فتوکاتالیستی SnO<sub>2</sub> نسبت به ZnO بیشتر است. بنابراین استفاده از ZnO جهت حذف آلاینده موثرتر است.

تاریخ دریافت: ۹۵/۰۵/۲۵  
تاریخ ویرایش: ۹۵/۰۸/۱۷  
تاریخ پذیرش: ۹۵/۰۸/۲۳  
تاریخ انتشار: ۹۵/۰۹/۳۰

واژگان کلیدی: آزمون آماری، فعالیت فتوکاتالیستی، نانوذرات ZnO، نانوذرات SnO<sub>2</sub>، متیل اورانژ

پست الکترونیکی نویسنده مسئول:  
abasi\_1362@yahoo.com,  
s.abbsi@esfarayen.ac.ir

## مقدمه

به علت داشتن خواص عالی مانند شفافیت، حساسیت نوری بالا، قیمت پایین و دوستدار محیط زیست بودن، کاربرد زیادی بویژه در پیل‌های خورشیدی، سنسورها، پیل‌های سوختی، کاتالیزورها و سوپرخازن‌ها دارد (۹). تاکنون مطالعات بسیاری بر روی فعالیت فتوکاتالیستی نانوذرات مختلف از جمله  $\text{Au}$  (۱۰)،  $\text{Ag-SnO}_2$  (۱۱)،  $\text{Ag-TiO}_2$  (۱۲)،  $\text{TiO}_2$  (۱۳) و  $\text{ZnO-SnO}_2$  (۱۴، ۱۵) جهت تجزیه فتوکاتالیستی آلایینده‌های متفاوت صورت گرفته است. Dhanavel و همکاران (۱۶) فعالیت فتوکاتالیستی نانوذرات  $\text{ZnO}$  را در حضور کیتونان برای حذف آلایینده متیلن بلو مورد مطالعه و بررسی قرار دادند. نتایج حاصل از بررسی آنها نشان داد با افزایش زمان تابش دهی آب آلوده به آلایینده متیلن بلو و در حضور نانوذرات  $\text{ZnO}$  میزان آلودگی کاهش می‌یابد بطوریکه حداقل میزان حذف آلایینده پس از  $4 \text{ h}$  تابش دهی را برابر  $80\%$  درصد گزارش نمودند. Shan و همکاران (۱۷) تاثیر نانوذرات  $\text{ZnO}$  آرایش یافته با مقادیر مختلف نانوذرات نقره (۱۰ و  $10\%$  درصد) را بر روی تجزیه فتوکاتالیستی محلول آلوده  $\text{R}_6\text{G}$  مورد مطالعه قرار دادند. Ag-SnO<sub>x</sub> (ANSOs) و همکاران (۱۸) فعالیت فتوکاتالیستی  $\text{Rh B}$  در دمای اتاق توسط تجزیه رنگی محلول ردامین  $\text{B}$  (Rh B) در آن تحت تابش نور مرئی و UV را بررسی کردند. Zhang و همکاران (۱۹)، نتایج آزمایشاتی بر روی فعالیت فتوکاتالیستی نانوسایزهای  $\text{ZnO-SnO}_2$  برای تخریب متیل اورانث، گزارش کردند. Wen و همکاران (۲۰) تخریب فتوکاتالیستی ردامین  $\text{B}$  (Rh B) را با استفاده از فتوکاتالیست‌های منفرد  $\text{SnO}_2$  و  $\text{Yuan}$  آرایش یافته با نانوذرات  $\text{ZnO}$  بررسی نمودند. Yuan و همکاران (۲۱) نانوذرات  $\text{SnO}_2$  را تحت شرایط کلسینه کردن متفاوت ( $400^\circ\text{C}$ ،  $700^\circ\text{C}$  و  $900^\circ\text{C}$ ) سنتز نمودند و فعالیت فتوکاتالیستی نمونه‌های سنتز شده را با تغییرات pH در محدوده  $3$  تا  $9$ ، غلظت فتوکاتالیست و زمان تابش دهی بر روی حذف آلایینده متیل اورانث از آب بررسی نمودند. با توجه به بررسی‌های صورت گرفته مشاهده می‌شود که تاثیر پارامترهای مختلفی از جمله غلظت، pH و زمان تابش دهی بر

آلودگی منابع آبی توسط پساب‌های صنعتی باعث ایجاد مشکلات زیست محیطی بسیاری در جوامع امروزی شده است. مهمترین مواد آلایینده موجود در پساب‌های صنعتی ترکیبات آلی رنگی از جمله متیلن بلو و متیل اورانث است. حضور آنها در آب باعث جلوگیری از نفوذ نور خورشید به عمق رودخانه‌ها شده و در نتیجه سبب اختلال در عمل فتوسترن می‌گردد و از طرفی سبب رشد سریع بعضی از انواع جلبک‌ها شده و در نتیجه، اکسیژن محلول در آب کاهش و از دریافت نور توسط آبزیان ممانعت به عمل می‌آورد. عدم دریافت نور توسط آبزیان سبب خفگی و مرگ و میر آنها می‌شود که این امر تهدیدی جدی برای هرم غذایی بشر به شمار می‌رود (۱، ۲). از جمله روش‌های کاهش و حذف مواد آلایینده رنگی می‌توان به استفاده از کربن فعال، فرایندهای غشایی، فرایندهای بیولوژیکی، اسمز معکوس، انقاد، مبادله یونی، فرایندهای اکسایش و جاذب‌های زیستی انتخاب پذیر اشاره نمود (۱، ۳، ۴). فرایند اکسیداسیون پیش‌رفته از جمله روش‌های پرکاربرد و عملی جهت تصفیه آب‌های آلوده به مواد آلایینده رنگی است. در این روش به دلیل استفاده از مواد اکسید کننده قوی مانند آب اکسیژن، ازن و کاتالیست‌هایی همچون اکسید روی، اکسید تیتانیوم، نقره و اکسید قلع و همچنین تابش اشعه فرابنفش، مواد آلایینده شیمیابی به مواد معدنی تجزیه می‌شوند. حذف و تجزیه مواد آلایینده آلی در فرایند اکسیداسیون پیش‌رفته براساس تحریک الکترون‌های لایه ظرفیت مواد کاتالیستی اکسنده و انتقال آنها به لایه هدایت است. بنابراین انتقال الکترون‌ها سبب ایجاد حفره در لایه ظرفیت و تولید رادیکال‌های هیدروکسیل می‌گردد (۵، ۶). از میان مواد فتوکاتالیستی که به طور گسترش براز از بین بردن آلودگی‌های آلی و معدنی استفاده می‌شود، می‌توان به نانوذرات اکسید روی ( $\text{ZnO}$ ) با شکاف انرژی  $3.25 \text{ eV}$  و اکسید قلع ( $\text{SnO}_2$ ) با شکاف انرژی  $3.8 \text{ eV}$  اشاره نمود. مزایای عمدۀ  $\text{ZnO}$  شامل حساسیت نوری بالا، ماهیت غیرسمی، پایداری  $\text{SnO}_2$  زیاد و راندمان بالا در تولید الکترون است (۷، ۸).

تابش UV قرار گرفت و پس از مدت زمان‌های مورد نظر مقدار ۳ mL از محلول اصلی که تحت تاثیر قرار گرفته خارج نموده و جذب آن ( $A_i$ )، اندازه‌گیری شد تا جایی که واکنش به اتمام رسید و رنگ نارنجی متیل اورانژ، از بین رفت در نهایت طبق معادله ۱، می‌توان درصد کاهش آلاینده را محاسبه گردید. برای اطمینان از نتایج آزمایشات، هر آزمایش سه بار انجام شده و نتایج آنها به صورت میانگین، گزارش شده است. در معادله بالا می‌توان میزان غلظت آلاینده در زمان اولیه ( $C_0$ )

$$\frac{A_i - A_t}{A_i} \times 100 = \frac{C_0 - C_t}{C_0} \times 100 \quad (1)$$

و پس از گذشت مدت زمان مشخصی از تابش‌دهی ( $C_t$ ) را مناسب با میزان جذب دانست (۱).

آنالیز آماری فعالیت فتوکاتالیستی نانوذرات  $\text{SnO}_2$  و  $\text{ZnO}$  با استفاده از نرم افزار MSTATC، Ver ۱.۴۲ کاملاً تصادفی دو متغیره (Two factor completely) randomized design (انجام گردید. بررسی وجود اختلاف معنی‌دار بین پاسخ‌ها براساس آزمون چند دامنه‌ای دانکن (Duncan's multiple range test) و با سطح اطمینان ۹۵ درصد انجام شد. تاثیر همزمان زمان تابش‌دهی و غلظت نانوذرات فتوکاتالیستی بر روی میزان حذف آلاینده متیل اورانژ با استفاده از نرم افزار Minitab، Ver ۱۱.۱۲ مورد مطالعه قرار گرفت.

### یافته‌ها

#### - آنالیز واریانس فعالیت فتوکاتالیستی

جدول ۱ و ۲ به ترتیب آنالیز واریانس فعالیت فتوکاتالیستی سوسپانسیون حاوی نانوذرات  $\text{SnO}_2$  و  $\text{ZnO}$  را جهت حذف آلاینده متیل اورانژ نشان می‌دهند. نتایج ارائه شده در ستون اول این دو جدول پارامتر مورد بررسی بر روی حذف آلاینده را نشان می‌دهد که شامل زمان تابش‌دهی، کسر وزنی نانوذرات و تاثیر متقابل این دو پارامتر است. ستون دوم میزان درجه

روی فعالیت فتوکاتالیستی نانوذرات  $\text{SnO}_2$  و  $\text{ZnO}$  در حذف آلاینده‌های مختلف مورد بررسی قرار گفته است. ولی آنالیز آماری پارامترهای عملیاتی مختلف که نشان‌دهنده معنی‌دار بودن سطوح‌های مختلف زمان و غلظت است تاکنون بررسی نشده است. همچنین تاثیر متقابل پارامترهای عملیاتی جهت بررسی همزمان زمان و غلظت بر روی فعالیت فتوکاتالیستی گزارش نشده است. بنابراین هدف از انجام این تحقیق بررسی و مطالعه تاثیر متغیرهای مورد مطالعه با استفاده از آزمون آماری و اثرات متقابل متغیرها (غلظت و زمان تابش‌دهی) بر روی فعالیت فتوکاتالیستی نانوذرات  $\text{SnO}_2$  و  $\text{ZnO}$  در حذف آلاینده متیل اورانژ از آب است.

### مواد و روش‌ها

نانوذرات  $\text{SnO}_2$  و  $\text{ZnO}$  مورد استفاده در این تحقیق به ترتیب به روش سل-ژل با استفاده از  $\text{SnCl}_4 \cdot 2\text{H}_2\text{O}$  و روش شیمیایی با استفاده از  $\text{ZnCl}_2$  که در مقالات گزارش شده است (۱، ۲) سنتز گردید. آلاینده متیل اورانژ که یکی از مهمترین نوع آلاینده‌های موجود در پساب‌های صنعتی و مقاوم در برابر تجزیه نوری است جهت حذف و بررسی فعالیت فتوکاتالیستی انتخاب گردید (۹). جهت انجام فعالیت‌های فتوکاتالیستی، درون یک بشر، mL ۶۰ از محلول ۱۰ ppm متیل اورانژ ریخته و مقادیر متفاوتی از پودر فتوکاتالیست (۰/۵، ۰/۲۵ و ۱ درصد وزنی) طی آزمایش‌های جداگانه به آن اضافه گردید، اطراف بشر بایستی بطور کامل با استفاده از ورقه‌های آلومینیومی پیچیده شود و در ابتدا به مدت ۶۰ min روی همزن مغناطیسی و در فضای تاریک همزده شد تا به تعادل جذب و واجذب رسید. سپس به مقدار ۳ mL از این محلول Lambda فیلتر شده و درون سل دستگاه اسپکتروفوتومتری (EZ201، Perkin Elmer company) قرار داده شد و در طول موج  $\lambda_{\text{max}} = 464\text{nm}$  مقدار جذب اولیه آن که نامیده می‌شود ثبت گردید. سپس در بازه‌های زمانی ۵ دقیقه‌ای، محلول بصورت پی در پی (۵، ۱۰، ۱۵، ۲۰، ۲۵ min) تحت

است. مقادیر ارائه شده در ستون پنجم از جداول ۱ و ۲ میزان اهمیت هر پارامتر را مشخص می‌نماید. بطوریکه پارامترهایی که دارای مقدار ارزش F بیشتری هستند، تاثیر بیشتری بر روی کارایی حذف آلینده دارند (۲۰). با توجه به مقادیر احتمال (probability) که در ستون ششم از جداول ۱ و ۲ مشاهده می‌شود می‌توان نتیجه‌گیری نمود که پارامترهایی که دارای مقدار احتمال کمتر از سطح احتمال (۰/۰۵) هستند دارای تاثیر معنی دار و قابل توجهی بر روی کارایی حذف آلینده دارند.

- تاثیر زمان تابش‌دهی بر روی فعالیت فتوکاتالیستی و حذف

آزادی هر پارامتر را نشان می‌دهد. میزان درجه آزادی هر یک از پارامترهای مورد بررسی برابر تعداد سطوح‌های هر پارامتر منهای یک است. بنابراین با توجه به اینکه تعداد سطوح‌های زمان تابش‌دهی برابر ۵ سطح (۵، ۱۰، ۱۵، ۲۰ و ۲۵ min) و تعداد سطوح‌های کسر وزنی نانوذرات مورد استفاده برابر ۳ سطح (۰/۰۵، ۰/۱ و ۰/۲۵) است بنابراین میزان درجه آزادی زمان تابش‌دهی و کسر وزنی به ترتیب برابر ۴ و ۲ است. میزان درجه آزادی اثر متقابل زمان تابش‌دهی و کسر وزنی نانوذرات برابر حاصلضرب درجه آزادی پارامترهای منفرد

جدول ۱- آنالیز واریانس فعالیت فتوکاتالیستی سوسپانسیون حاوی نانوذرات ZnO

منبع تغییرات	درجه آزادی	مجموع مربعات	میانگین مربعات	ارزش F	احتمال
زمان تابش‌دهی	۴	۹۹۴۱/۰۴۶	۲۴۸۵/۲۶۱	۵۷۰/۳۷۴	۰/۰۰۰
کسر وزنی	۲	۳۶۱۱/۹	۱۸۰۵/۹۵	۴۱۴/۴۷	۰/۰۰۰
زمان تابش‌دهی - کسر وزنی	۸	۳۴۶۲/۶۲۶	۴۳۲/۸۲۸	۹۹/۳۳۵	۰/۰۰۰
خطا	۳۰	۱۳۰/۷۱۷	۴/۳۵۷	----	----
کل	۴۴	۱۷۱۴۶/۲۸۹	----	----	----

جدول ۲- آنالیز واریانس فعالیت فتوکاتالیستی سوسپانسیون حاوی نانوذرات SnO<sub>2</sub>

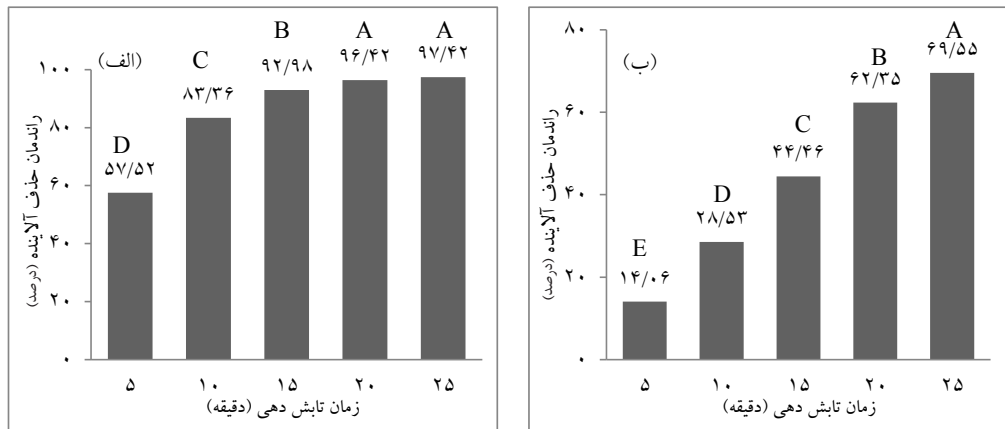
منبع تغییرات	درجه آزادی	مجموع مربعات	میانگین مربعات	ارزش F	احتمال
زمان تابش‌دهی	۴	۱۹۱۲۷/۴۰۴	۴۷۸۱/۸۵۱	۵۵۰/۶۱۷	۰/۰۰۰
کسر وزنی	۲	۳۱۵۲/۹۲۱	۱۵۷۶/۴۶۰	۱۸۱/۵۲۵	۰/۰۰۰
زمان تابش‌دهی - کسر وزنی	۸	۳۰۱/۷۹۳	۳۷/۷۲۴	۴/۳۴۳	۰/۰۰۴
خطا	۳۰	۲۶۰/۵۳۶	۸/۶۵۸	----	----
کل	۴۴	۲۲۸۴۲/۶۵۴	----	----	----

میزان فعالیت فتوکاتالیستی و حذف آلینده وجود دارد. ولی با افزایش زمان تابش‌دهی از ۲۰ min تا ۲۵ min تفاوت معنی‌داری در میزان حذف آلینده وجود ندارد. با توجه به نمودار (۱-ب) که تاثیر زمان تابش‌دهی اشعه UV را بر روی میزان فعالیت فتوکاتالیستی نانوذرات SnO<sub>2</sub> نشان می‌دهد، مشاهده می‌شود

آلینده مตیل اورانژ نمودار (۱-الف) تاثیر زمان تابش‌دهی اشعه UV بر روی میزان فعالیت فتوکاتالیستی نانوذرات ZnO را نشان می‌دهد. با توجه به نتایج حاصل از این شکل مشاهده می‌شود که در بازه زمان تابش‌دهی از ۵ تا ۲۰ min، تفاوت آماری معنی‌داری در

آلاینده متیل اورانٹ در زمان تابش دهی ۱۴/۰۶ min و معادل ۵ درصد است و با افزایش زمان تابش دهی تا ۲۵ min، میزان فعالیت فتوکاتالیستی به ۶۹/۵۶ درصد افزایش می‌یابد.

که در بازه زمانی ۵ تا ۲۵ min، تفاوت آماری معنی‌داری در میزان فعالیت فتوکاتالیستی براساس آزمون چند دامنه‌ای دان肯 و با سطح اطمینان ۹۵ درصد وجود دارد. حداقل میزان حذف



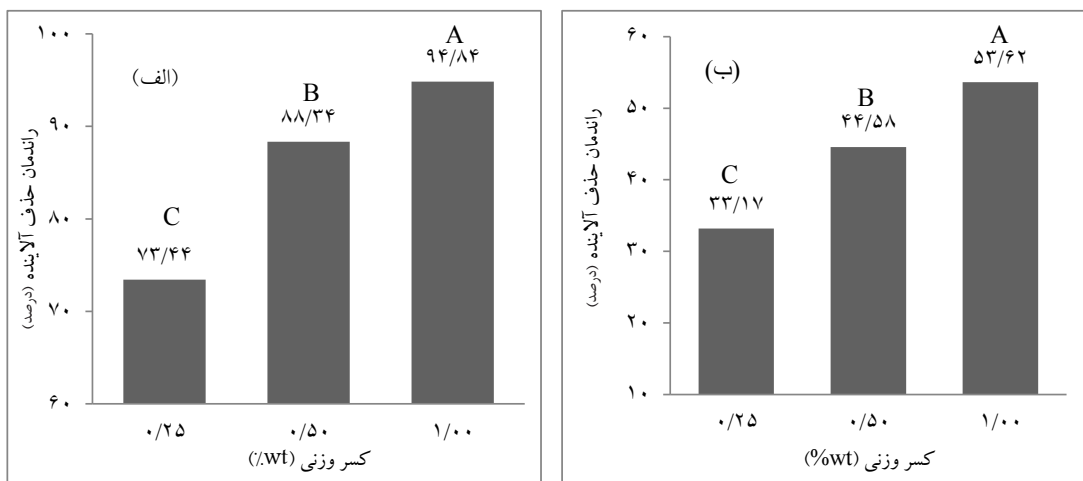
نمودار ۱- (الف) تاثیر زمان تابش دهی بر روی میزان فعالیت فتوکاتالیستی محلول حاوی نانوذرات ZnO

(ب) تاثیر زمان تابش دهی بر روی میزان فعالیت فتوکاتالیستی محلول حاوی نانوذرات SnO<sub>2</sub>. (میانگین‌هایی با حروف متفاوت، دارای تفاوت آماری معنی‌داری براساس آزمون چند دامنه‌ای دان肯 و با سطح اطمینان ۹۵ درصد هستند).

- بررسی پاسخ سطح و تاثیر متقابل زمان تابش دهی و غلظت با توجه به نتایج ارائه شده مشاهده می‌شود که کارایی حذف آلاینده‌ها با استفاده از نانوذرات فتوکاتالیستی در سوسپانسیون‌های مورد بررسی تحت تاثیر زمان تابش دهی و غلظت نانوذرات استفاده شده، است. هرچند که این نتایج فقط تاثیر یکی از این پارامترها را نشان می‌دهد. لذا جهت بررسی تاثیر همزمان زمان تابش دهی و غلظت، تکنیک پاسخ سطح روشی مناسب و مفیدی است. نمودار (۳-الف و ب) تغییرات میزان کارایی حذف آلاینده و خطوط کانتور را با زمان تابش دهی و غلظت در سوسپانسیون حاوی نانوذرات ZnO نشان می‌دهد. با توجه به نمودار ۳-الف مشاهده می‌شود که با افزایش همزمان زمان تابش دهی و غلظت، میزان فعالیت فتوکاتالیستی نانوذرات ZnO نیز افزایش می‌یابد. همچنین با توجه به نتایج حاصل از نمودار ۳-ب مشاهده می‌شود که برای رسیدن به میزان مشخصی از حذف آلاینده متیل اورانٹ، زمان تابش دهی مورد نیاز افزایش یافته و درصد وزنی نانوذرات کاهش می‌یابد. نمودار (۴-الف و ب) تغییرات میزان فعالیت

#### - تاثیر غلظت بر روی فعالیت فتوکاتالیستی و حذف آلاینده متیل اورانٹ

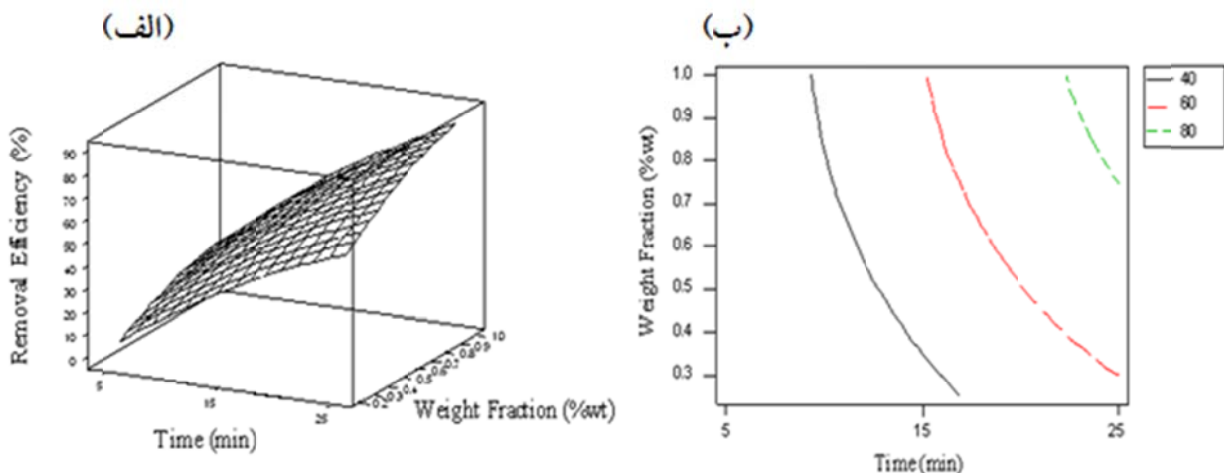
تاثیر غلظت نانوذرات ZnO بر روی فعالیت فتوکاتالیستی و حذف آلاینده متیل اورانٹ در نمودار (۲-الف) نشان داده شده است. با توجه به این نمودار مشاهده می‌شود که کمترین و بیشترین کارایی حذف آلاینده متیل اورانٹ در غلظت‌های وزنی ۰/۲۵ و ۱ درصد حاصل می‌شود. براساس آزمون چند دامنه‌ای دان肯 و سطح اطمینان ۹۵ درصد، مشاهده می‌شود که در سوسپانسیون حاوی نانوذرات ZnO، تفاوت معنی‌داری در میان راندمان فعالیت فتوکاتالیستی وجود دارد. نتایج حاصل از آنالیز آماری کارایی حذف آلاینده در محلول حاوی نانوذرات SnO<sub>2</sub> با استفاده از آزمون چند دامنه‌ای دان肯 (نمودار ۲-ب) نشان می‌دهد که بین سطوح متولی غلظت، تفاوت آماری معنی‌داری در اکسیداسیون و حذف آلاینده متیل اورانٹ وجود دارد. کمترین میزان حذف آلاینده در غلظت وزنی ۰/۲۵ درصد از نانوذرات SnO<sub>2</sub> برابر ۳۳/۱۷ درصد و بیشترین میزان حذف آلاینده در غلظت وزنی ۱ درصد از نانوذرات SnO<sub>2</sub> برابر ۵۳/۶۲ است.



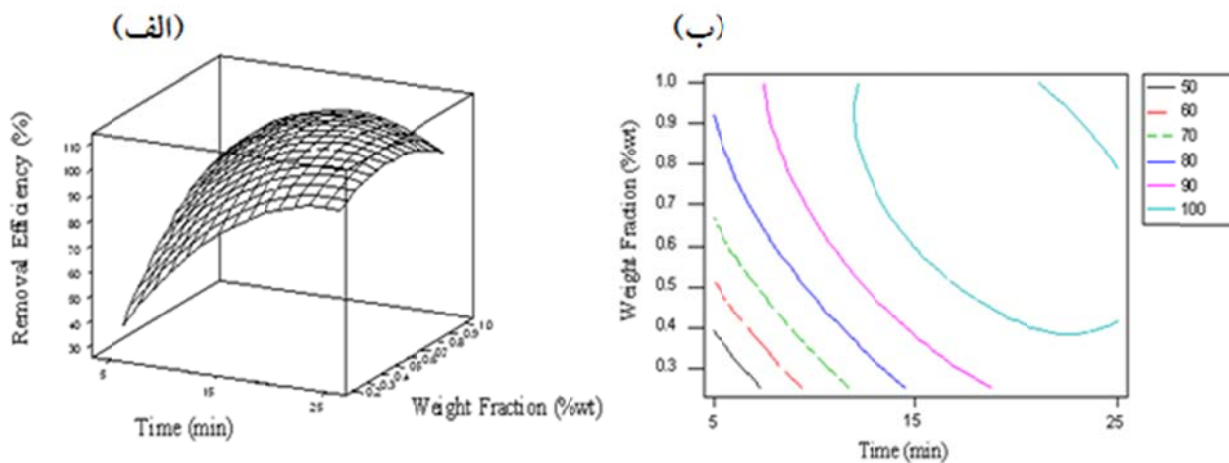
نمودار ۲- (الف) تاثیر زمان غلظت بر روی میزان فعالیت فتوکاتالیستی محلول حاوی نانوذرات  $\text{ZnO}$ . (ب) تاثیر زمان غلظت بر روی میزان فعالیت فتوکاتالیستی محلول حاوی نانوذرات  $\text{SnO}_2$ . (میانگینهای با حروف متفاوت، دارای تفاوت آماری معنی‌داری براساس آزمون چند دامنه‌ای دانکن و با سطح اطمینان ۹۵ درصد هستند)

می‌یابد. همچنین با توجه به نمودار ۴-ب مشاهده می‌شود که برای رسیدن به میزان کارایی حذف مشخصی از متیل اورانژ زمان تابش دهی مورد نیاز افزایش یافته و غلظت نانوذرات  $\text{SnO}_2$  کاهش می‌یابد.

فتوکاتالیستی و خطوط کانتور را با زمان تابش دهی و غلظت نانوذرات  $\text{SnO}_2$  نشان می‌دهد. با توجه به نمودار ۴-الف مشاهده می‌شود که با افزایش هم‌زمان زمان تابش دهی و غلظت نانوذرات  $\text{SnO}_2$ ، میزان تجزیه و حذف متیل اورانژ نیز افزایش



نمودار ۳- (الف) پاسخ سطح کارایی حذف آلاینده سوسپانسیون حاوی نانوذرات  $\text{ZnO}$  نسبت به زمان تابش دهی و غلظت، (ب) خطوط کانتور کارایی حذف آلاینده سوسپانسیون حاوی نانوذرات  $\text{ZnO}$  در زمان تابش دهی و درصدهای وزنی متفاوت



نمودار ۴- (الف) پاسخ سطح کارایی حذف آلاینده سوپسپانسیون حاوی نانوذرات  $\text{SnO}_x$  نسبت به زمان تابش دهی و غلظت، (ب) خطوط کانتور کارایی حذف آلاینده سوپسپانسیون حاوی نانوذرات  $\text{SnO}_x$  در زمان تابش دهی و درصدهای وزنی متفاوت

میزان قابل توجهی افزایش یافت. حداقل میزان حذف آلاینده در سوپسپانسیون حاوی نانوذرات  $\text{SnO}_x$  در زمان  $25 \text{ min}$  حاصل می شود که میزان آن برابر  $69/55$  درصد است که در مقایسه با میزان فعالیت فتوکاتالیستی نانوذرات  $\text{ZnO}$  در زمان تابش دهی مشابه ( $42/7$  درصد) کمتر است. که این امر ناشی از تفاوت در باند گپ نانوذرات  $\text{ZnO}$  و  $\text{SnO}_x$  است. نانوذرات  $\text{SnO}_x$  دارای باند گپ عریض تر ( $3/8 \text{ eV}$ ) است. نانوذرات  $\text{ZnO}$  دارای باند گپ ( $3/2 \text{ eV}$ ) هستند ( $23$ ) که برای برانگیختن جفت الکترون-حرفره، نیاز به تابش بیشتر نور UV دارند و دیرتر از نانوذرات  $\text{ZnO}$  که دارای باند گپ کوتاه تر هستند، برانگیخته می شوند ( $1$ ). بنابراین در مدت زمان مشابه نانوذرات  $\text{ZnO}$  دارای تحریک الکترونی بیشتر هستند و جفت الکترون - حرفره بیشتری تولید می نمایند که سبب تولید بیشتر رادیکال های اکسید کننده هیدروکسیل می شود. بنابراین در مدت زمان تابش دهی مشابه نانوذرات  $\text{ZnO}$  توانایی تجزیه بیشتر آلاینده را دارند. نتایج حاصل از تاثیر غلظت نانوذرات فتوکاتالیستی  $\text{ZnO}$  و  $\text{SnO}_x$  بر روی میزان کارایی حذف آلاینده متیل اورانژ نشان می دهد که افزایش غلظت نانوذرات

## بحث

نتایج حاصل از تاثیر پارامترهای عملیاتی مورد بررسی از جمله زمان تابش دهی سوپسپانسیون با اشعه UV و کسر وزنی و اثر ترکیبی این دو پارامتر نشان می دهد که تمام پارامترهای ذکر شده دارای تأثیر معنی داری بر فعالیت فتوکاتالیستی سوپسپانسیون های مورد بررسی دارند. همچنین با توجه به نتایج حاصل از آنالیز واریانس مشاهده می شود که در هر دو نوع نانوذره مورد استفاده، زمان تابش دهی دارای بیشترین تاثیر بر روی حذف متیل اورانژ است. نتایج بدست آمده با نتایج گزارش شده توسط Masombaigi و همکاران ( $21$ ) نیز مطابقت دارد. با توجه به نتایج حاصل از تاثیر زمان تابش دهی سوپسپانسیون حاوی نانوذرات فتوکاتالیستی و مواد آلاینده مشاهده می شود که با افزایش زمان تابش دهی، کارایی حذف آلاینده متیل اورانژ نیز افزایش می یابد. بطوری که با افزایش زمان تابش دهی از  $5 \text{ min}$  تا  $25 \text{ min}$  میزان درصد حذف آلاینده توسط نانوذرات  $\text{ZnO}$  از  $52/57$  تا  $74/97$  افزایش می یابد. بنابراین می توان نتیجه گیری نمود که با افزایش زمان تابش دهی از  $5 \text{ min}$  تا  $25 \text{ min}$  فعالیت فتوکاتالیستی نانوذرات  $\text{ZnO}$  به

## نتیجه‌گیری

حذف آلاینده متیل اورانژ از آب با استفاده از نانوذرات فتوکاتالیستی  $\text{ZnO}$  و  $\text{SnO}_2$  و تحت تابش اشعه UV مورد بررسی قرار گرفت. نتایج حاصل از تجزیه متیل اورانژ نشان داد که کارایی حذف آلاینده تحت تاثیر پارامترهایی از جمله  $\text{SnO}_2$  و  $\text{ZnO}$  زمان تابش دهی اشعه UV و غلظت نانوذرات  $\text{ZnO}$  و  $\text{SnO}_2$  است. با توجه به نتایج حاصل از آنالیز واریانس مشاهده شد که اختلاف معنی‌داری بین تمام سطوح زمان و غلظت وجود دارد. همچنین مشاهده گردید که با افزایش زمان تابش دهی و غلظت، میزان کارایی حذف آلاینده نیز افزایش می‌یابد. مقایسه بین میزان راندمان فعالیت فتوکاتالیست نانوذرات  $\text{ZnO}$  و  $\text{SnO}_2$  نیز نشان‌دهنده بالاتر بودن میزان حذف آلاینده متیل اورانژ در سوسپانسیون حاوی نانوذرات  $\text{ZnO}$  نسبت به سوسپانسیون حاوی نانوذرات  $\text{SnO}_2$  است.

## تشکر و قدردانی

نویسنده‌گان این مقاله مراتب تشکر خود را از سرپرست آزمایشگاه مرکزی مجتمع آموزش عالی فنی و مهندسی اسفراین با بت همکاری جهت استفاده از تجهیزات آزمایشگاهی اعلام می‌دارند.

## منابع

- Ghaderi A, Abbasi S, Farahbod F. Synthesis of  $\text{SnO}_2$  and  $\text{ZnO}$  nanoparticles and  $\text{SnO}_2$ - $\text{ZnO}$  hybrid for the photocatalytic oxidation of Methyl Orange. Iranian Journal of Chemical Engineering. 2015;12(3):96-105.
- Ghaderi A, Abbasi S, Farahbod F. Photocatalytic degradation of methyl orange by  $\text{ZnO}$  and  $\text{SnO}_2$  nanoparticles. 1st National Conference of Nanotechnology in Chemistry and Chemical Engineering; 2015; Gachsaran, Iran (in Persian).
- Khorramfar S, Mahmoodi N, Arami M, Gharanjig K. Dye removal from colored textile wastewater using Tamarindus Indica Hull: Isotherm and kinetics study. Journal of Color Science and Technology. 2009;3:81-88 (in Persian).
- Mahmoodi N, Rayat-Tari K, Borhani S, Arami M, Nourmohammadian F. Decolorization of colored wastewater containing azo acid dye using photo-fenton process: operational parameters and a comparative study. Journal of Color Science and Technology. 2008;2:31-40 (in Persian).
- Ren C, Yang B, Wu M, Xu J, Fu Z, Guo T. Synthesis of  $\text{Ag}/\text{ZnO}$  nanorods array with enhanced photocatalytic performance. Journal of Hazardous Materials. 2010;182:123-29.
- Al-Momani F, Touraud E, Degorce-Dumas JR, J. Roussy OT. Biodegradability enhancement of textile dyes and textile wastewater by VUV photolysis. Journal of Photochemistry and Photobiology A: Chemistry. 2002;153:191-99.

7. Behnajady MA, Modirshahla N, Hamzavi R. Kinetic study on photocatalytic degradation of C.I. Acid Yellow 23 by ZnO photocatalyst. *Journal of Hazardous Materials*. 2006;133:226-32.
8. Alijani S, Vaez M, Moghadam AZ. Comparative study on the photodegradation of Acid Black 26 from synthetic wastewater using slurry and immobilized TiO<sub>2</sub> on the sackcloth fiber. *Iranian Journal of Health and Environment*. 2013;6(2):243-56 (in Persian).
9. Wang W, Zhang J, Chen F, He D, Anpo M. Preparation and photocatalytic properties of Fe<sup>3+</sup>-doped Ag@TiO<sub>2</sub> core-shell nanoparticles. *Journal of Colloid and Interface Science*. 2008;323:182-86.
10. Ayati A, Ahmadpour A, Bamoharram FF, Heravi MM, Rashidi H. Photocatalytic synthesis of gold nanoparticles using preyssler acid and their photocatalytic activity. *Chinese Journal of Catalysis*. 2011;32:978-82.
11. Liu H, Liu T, Dong X, Hua R, Zhu Z. Preparation and enhanced photocatalytic activity of Ag-nanowires@SnO<sub>2</sub> core-shell heterogeneous structures. *Ceramics International*. 2014;40:16671-75.
12. Wang W, Zhang J, Chen F, He D, Anpo M. Preparation and photocatalytic properties of Fe<sup>3+</sup>-doped Ag@TiO<sub>2</sub> core-shell nanoparticles. *Journal of Colloid and Interface Science*. 2008;323:182-86.
13. Ahmed AAE, Hassan MAS, Kamal AM. Preparation and using of TiO<sub>2</sub> nanoparticles for treatment of water containing formic acid or coliform bacteria. *Nanoscience and Nanotechnology*. 2013;3(4):90-95.
14. Zhang M, Sheng G, Fu J, An T, X.Wang, Hu X. Novel preparation of nanosized ZnO-SnO<sub>2</sub> with high photocatalytic activity by homogeneous co-precipitation method. *Materials Letters*. 2005;59:3641-44.
15. Wen Z, Wang G, Lu W, Wang Q, Zhang Q, Li J. Enhanced photocatalytic properties of mesoporous SnO<sub>2</sub> induced by low concentration ZnO doping. *Crystal Growth & Design*. 2007;7:1722-25.
16. Dhanavel S, Nivethaa EAK, Narayanan V, Stephen A. Photocatalytic activity of Chitosan/ZnO nanocomposites for degrading methylene blue. *International Journal of ChemTech Research*. 2014;6(3):1880-82.
17. Shan G, Zheng S, Chen S, Chen Y, Liu Y. Multifunctional ZnO/Ag nanorod array as highly sensitive substrate for surface enhanced Raman detection. *Colloids and Surfaces B: Biointerfaces* 2012;94:157-62.
18. Wen Z, Wang G, Lu W, Wang Q, Zhang Q, Li J. Enhanced photocatalytic properties of mesoporous SnO<sub>2</sub> induced by low concentration ZnO doping. *Crystal Growth & Design*. 2007;7:1722-25.
19. Yuan H, Xu J. Preparation, Characterization and photocatalytic activity of nanometer SnO<sub>2</sub>. *International Journal of Chemical Engineering and Applications*. 2010;1(3):214-46.
20. Abbasi S, Hasanzadeh M. The effect of pH on the photocatalytic degradation of methyl orange using decorated ZnO nanoparticles with SnO<sub>2</sub> nanoparticles. *Journal of Materials Science: Materials in Electronics*. 2016;doi:10.1007/s10854-016-5660-65.
21. Masombaigi H, Rezaee A, Nasiri A. Photocatalytic degradation of Methylene Blue using ZnO nanoparticles. *Iranian Journal of Health and Environment*. 2009;2 (3):188-95 (in Persian).
22. Yang GD, Yan ZF, Xiao TC. Preparation and characterization of SnO<sub>2</sub>/ZnO<sub>2</sub>/TiO<sub>2</sub> composite semiconductor with enhanced photocatalytic activity. *Applied Surface Science*. 2012;258:8704-12.
23. Balachandran S, Selvam K, Babu B, Swaminathan M. The simple hydrothermal synthesis of Ag-ZnO-SnO<sub>2</sub> nanochain and its multiple applications. *Dalton Transactions*. 2013;42:16365-74.



Available online: <http://ijhe.tums.ac.ir>

Original Article



## Photocatalytic Removal of Methyl Orange in Suspension Containing ZnO and SnO<sub>2</sub> Nanoparticles and Investigation the Influence of Effective Variables on the Process

S Abbasi\*

Esfarayen University of Technology, North Khorasan, Esfarayen, Iran

### ARTICLE INFORMATIONS:

Received: 15 August 2016  
Revised: 7 November 2016  
Accepted: 13 November 2016  
Published: 20 December 2016

### ABSTRACT

**Background and Objective:** Owing to the extended usage in the safekeeping of environments, the photocatalytic materials have been widely applied. The purpose of the present study was to investigate the photocatalytic activity of ZnO and SnO<sub>2</sub> nanoparticles in removal of methyl orange from aqueous media.

**Materials and Methods:** ZnO and SnO<sub>2</sub> nanoparticles were synthesized through sol-gel and chemical precipitation respectively. Methyl orange was selected as model pollutant. The effect of weight fraction on the removal of pollutant was investigated in the range of 0.25, 0.5, and 1 weight percent. Meanwhile, for investigating the effect of radiation time, the suspension containing pollutant and nanoparticles was irradiated. The obtained results were analyzed by MSTATC, Ver 1.42 software and Duncan's multiple range test.

**Results:** The analysis of variance results of removal efficiency of methyl orange showed that in the suspension involving ZnO and SnO<sub>2</sub>, radiation time, weight fraction and the combined effect of them have a significant effect on the removal of methyl orange at 5% level of probability. Meanwhile, by increasing irradiation time from 5 to 25 min, the removal efficiency in suspensions containing ZnO and SnO<sub>2</sub> reached 97.42 and 65.55% respectively. Investigation on the effect of concentration on the removal of methyl orange shows that the removal of methyl orange increases with respect to the weight fraction.

**Conclusion:** According to the obtained results, it was observed that the photocatalytic activity of ZnO is higher than that of SnO<sub>2</sub>. Therefore, the application of ZnO is more effective for removal of methyl orange from aqueous media.

**Key words:** Statistical analysis, Photocatalytic activity, ZnO nanoparticles, SnO<sub>2</sub> nanoparticles, Methyl orange

**\*Corresponding Author:**

abasi\_1362@yahoo.com,  
s.abbasi@esfarayen.ac.ir

Please cite this article as: Abbasi S. Photocatalytic removal of methyl orange in suspension containing ZnO and SnO<sub>2</sub> nanoparticles and investigation the influence of effective variables on the process. *Iranian Journal of Health and Environment*. 2016;9(3):433-42.